

DECADIMENTO MESONICO ${}^7\text{Li}$

TARGHETTE ANALIZZATE:

7Li – Produzione APR 08

TAGLI UTILIZZATI PER GLI SPETTRI INCLUSIVI DI PIONI:

Tracce forward+backward LUNGHE (**Longmin** \geq 1)

Fitemin=0, Prercod=0, Stopmin=1, Extrmin=1

Disvmin $<$ 0.3, Dev2min $<$ 10, **Stermin** $<$ 100, **Resdmin** $<$ 0.5

TAGLI UTILIZZATI PER PIONI CORTI:

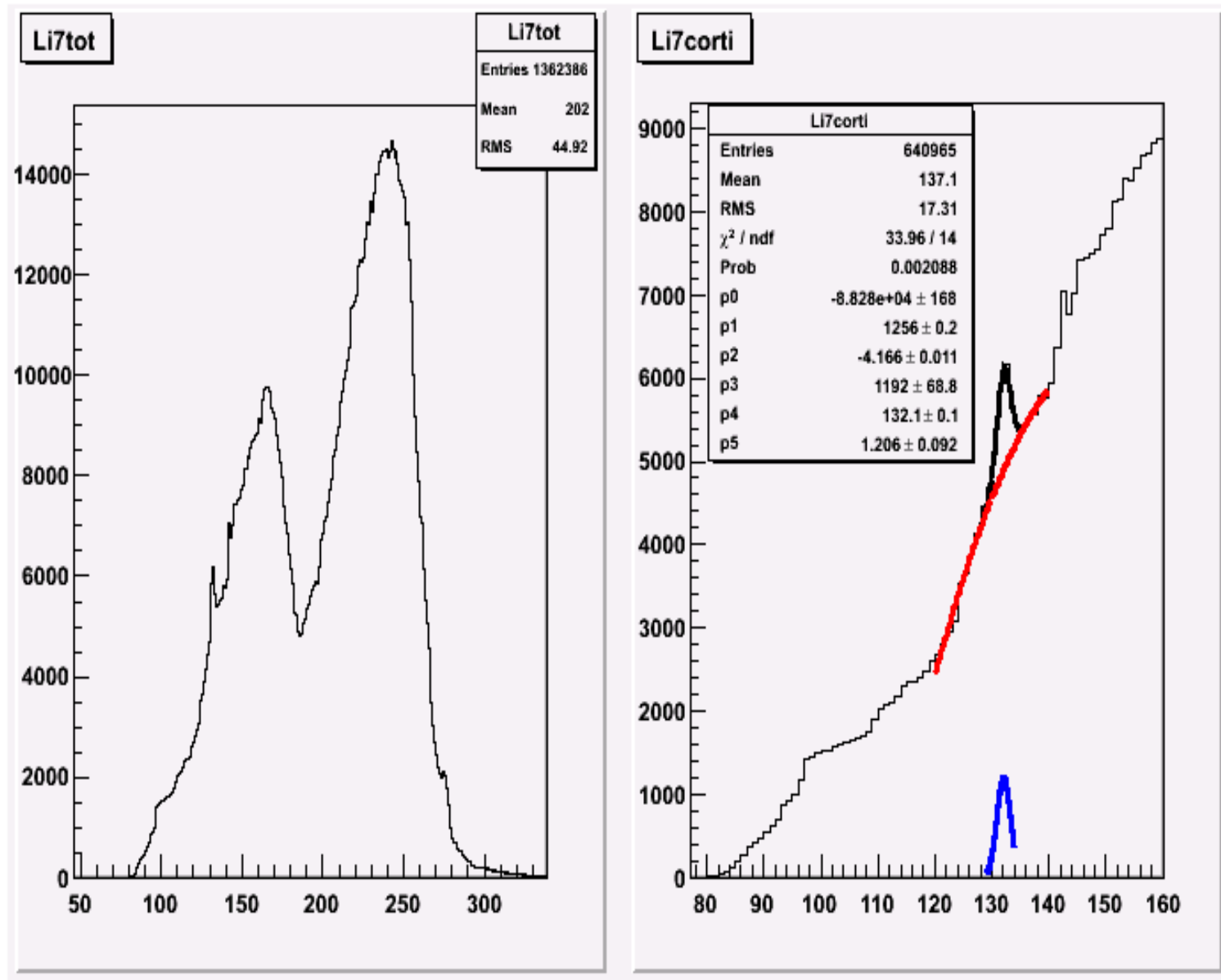
Fitemin=0, Prercod=0, Stopmin=1, Extrmin=1

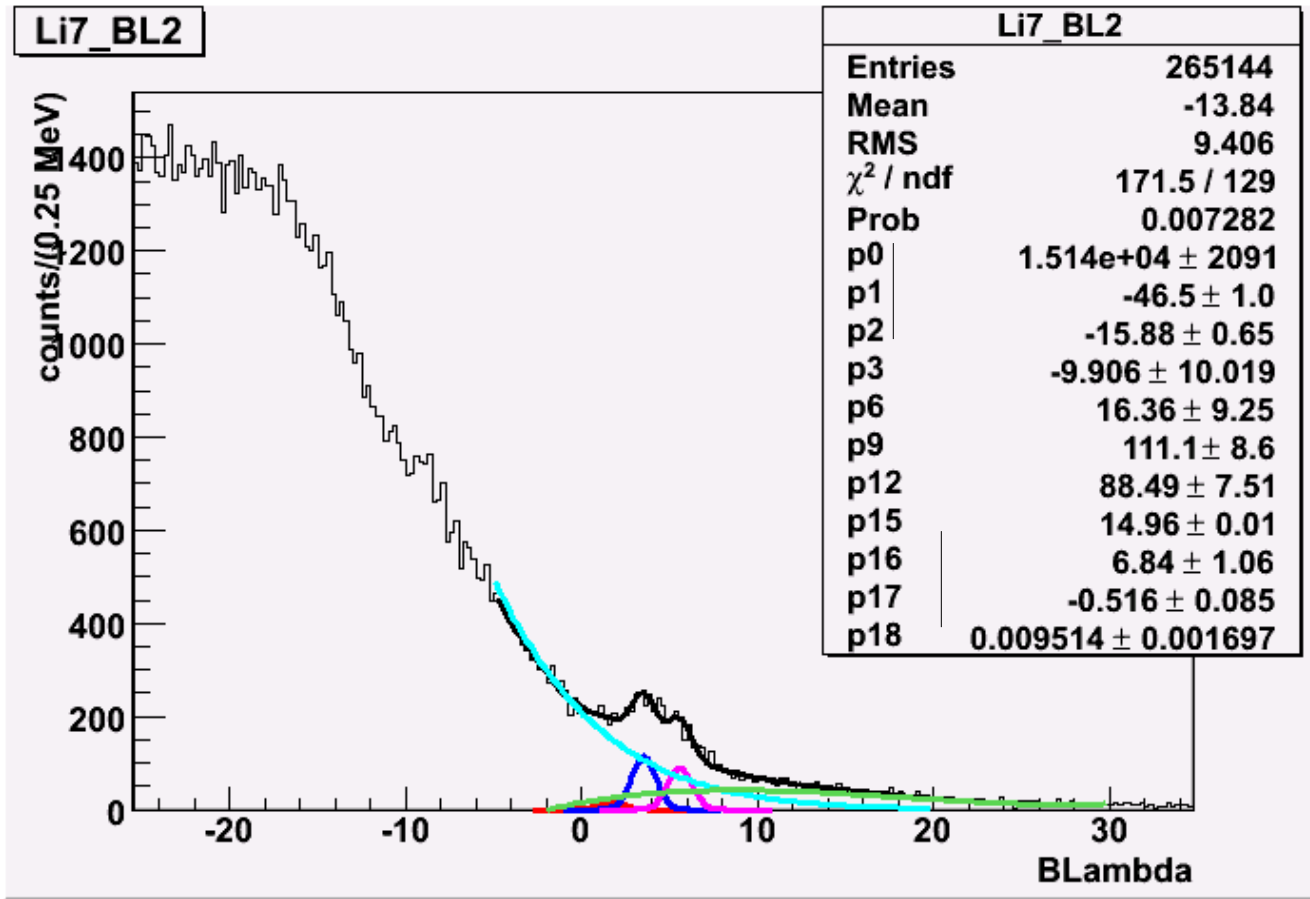
Disvmin $<$ 0.3, Dev2min $<$ 10, **no Straw, no Tofone**

(backward, no supporti)

PID: Pione identificato richiedendo sempre la presenza di OSIM e almeno una delle due camere. Se e' presente anche il TOF viene utilizzata anche la massa ricavata dal tempo di volo.

Entries: +3%





p4 = -0.95 MeV p5 = 0.75 3^{\wedge} exc $5/2+$ T=1
 p7 = 1.703 MeV p8 = 0.75 2^{\wedge} exc $1/2+$ T=1
 p10 = 3.53 MeV p11 = 0.75 1^{\wedge} exc $5/2+$ T=0
 p13 = 5.85 MeV p14 = 0.75 g.s. $1/2+$ T=0

selezione BL: picchi $\pm 2\sigma$: **BL: 0.2-7.1 MeV – p_{π} : 271-279**

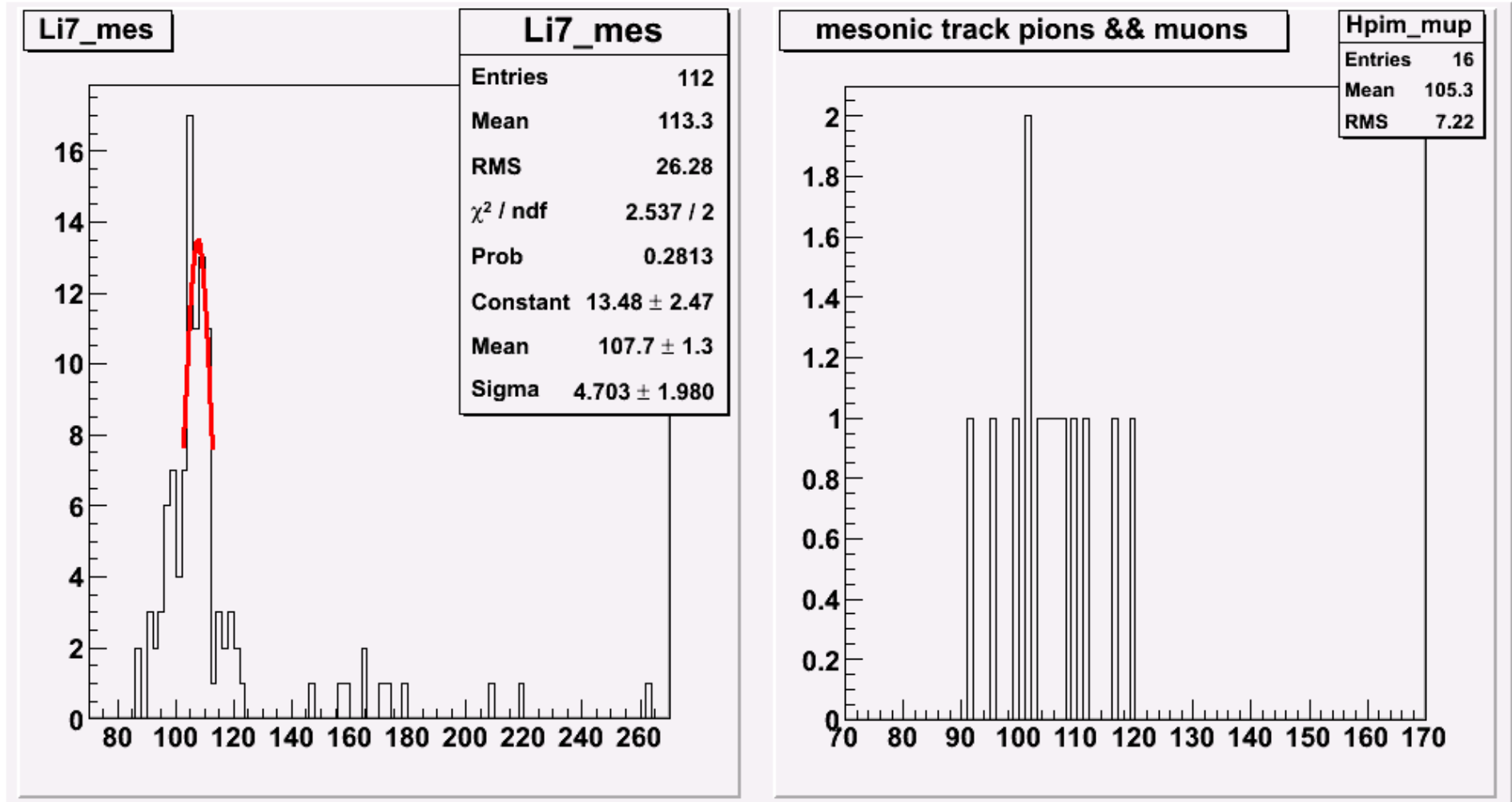
MeV/c

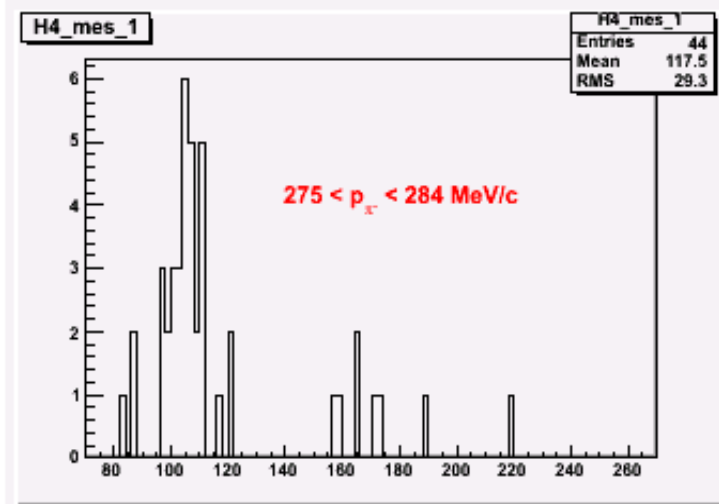
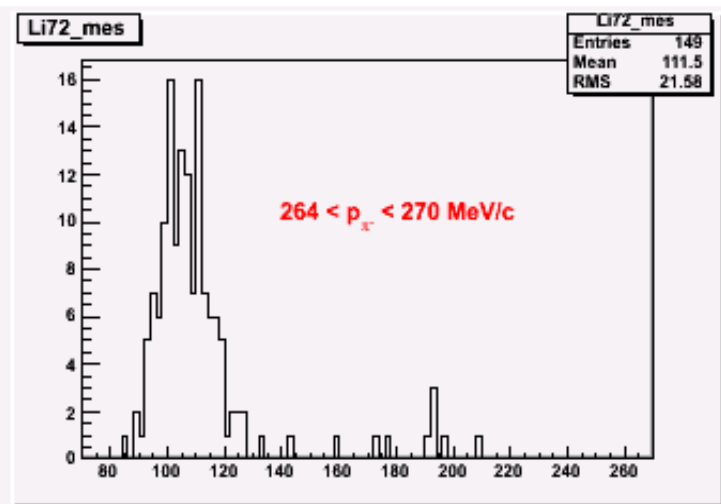
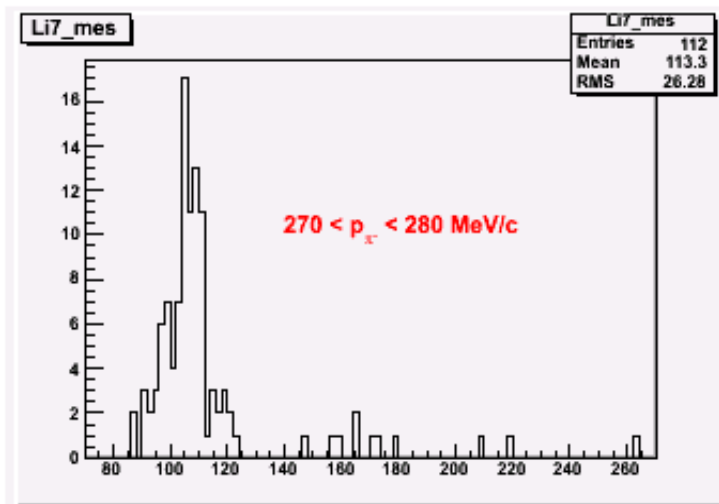
$\Delta p/p = 0.7\% \rightarrow \Delta T/T$

Selezione: 270-280 MeV/c

$p_{\pi} = 107.7 \text{ MeV/c}$ per $7\text{Li} \rightarrow \text{Be}^* + \pi^-$

= 102.6 MeV/c per $7\text{Li} \rightarrow 4\text{He} - 3\text{He} + \pi^-$ 102.6-112.8 MeV/c

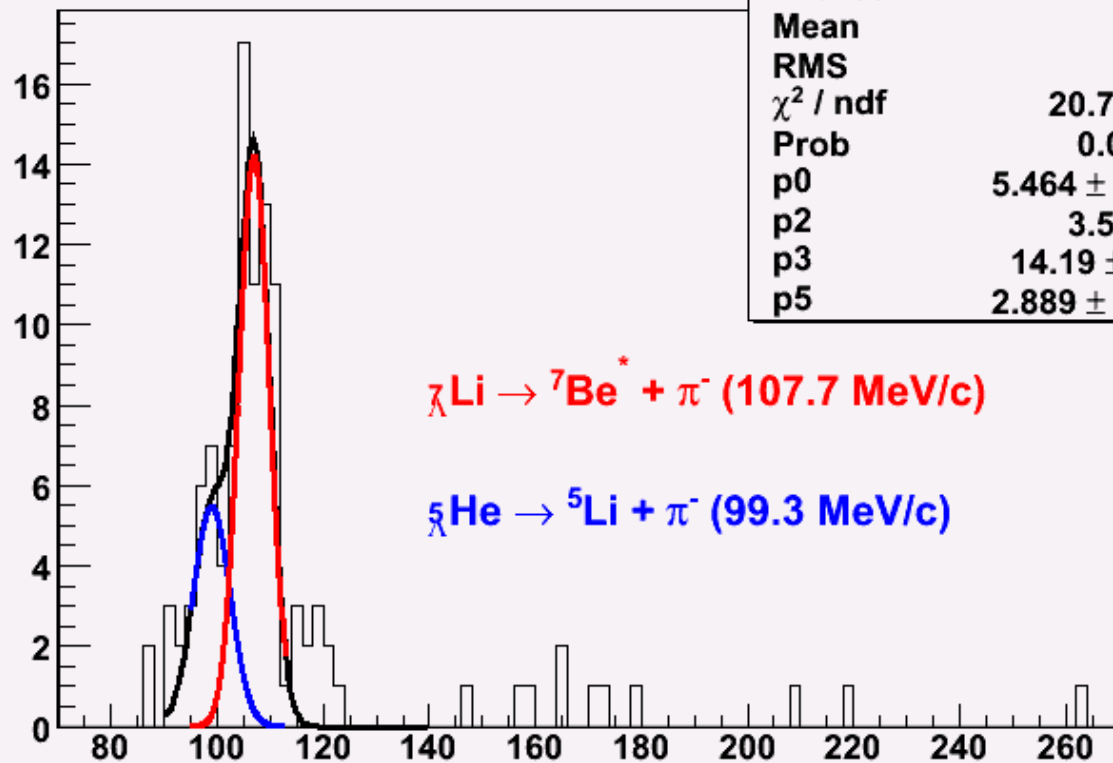




${}^5_{\Lambda}\text{He}$

${}^7_{\Lambda}\text{Li g.s.}$

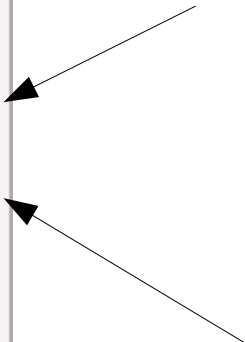
Li7_mes



Li7_mes	
Entries	112
Mean	113.3
RMS	26.28
χ^2 / ndf	20.77 / 13
Prob	0.07762
p0	5.464 ± 1.379
p2	3.5 ± 0.6
p3	14.19 ± 2.47
p5	2.889 ± 0.363

${}^7\text{Li} \rightarrow {}^7\text{Be}^* + \pi^-$ (107.7 MeV/c)

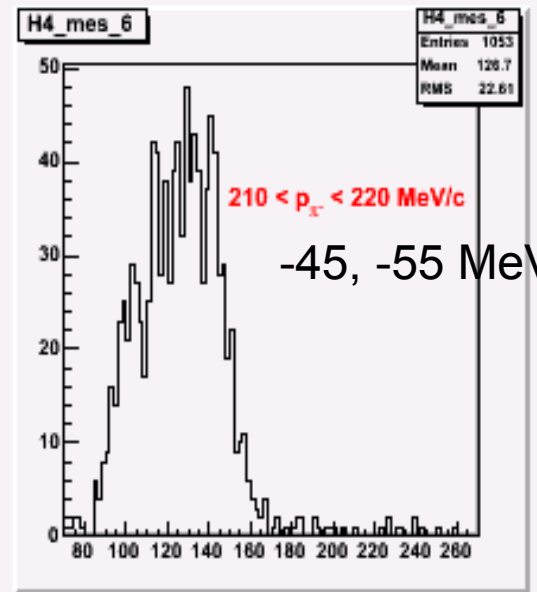
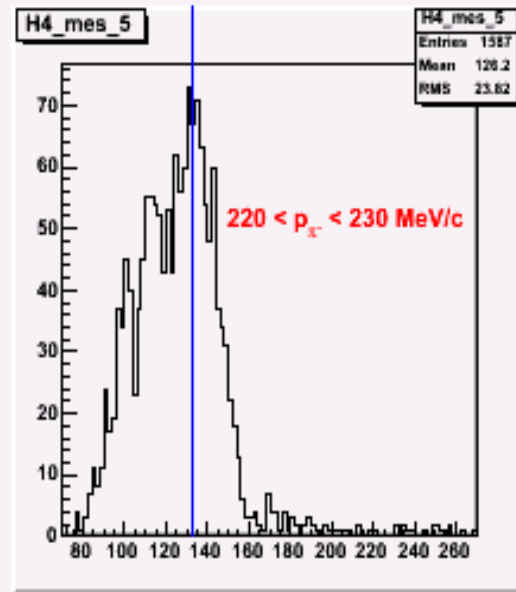
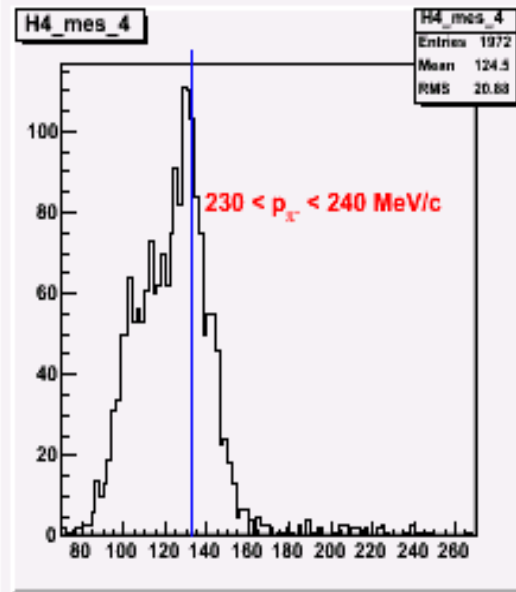
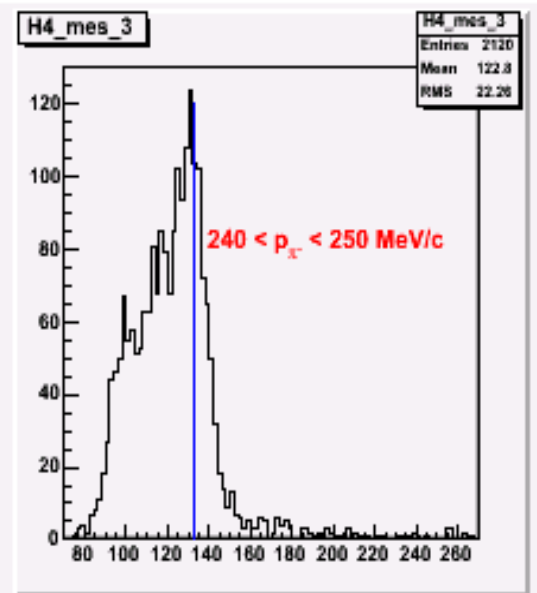
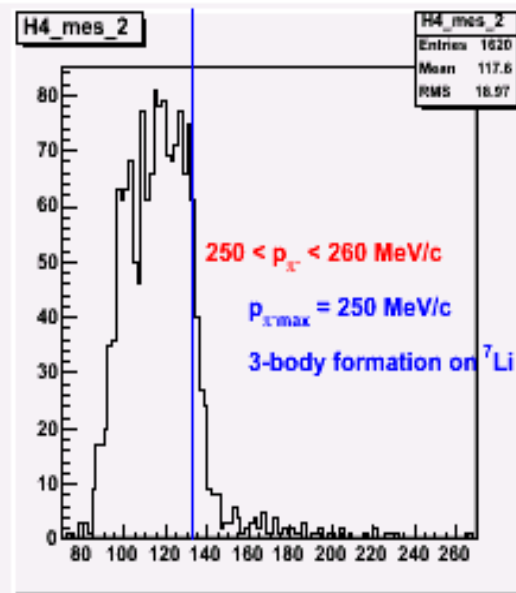
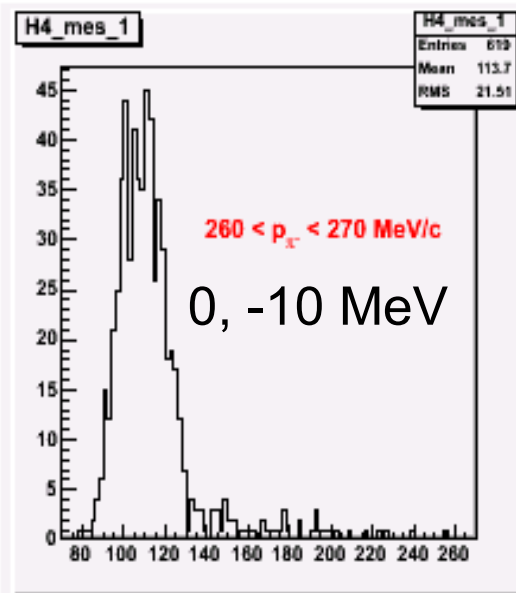
${}^5\text{He} \rightarrow {}^5\text{Li} + \pi^-$ (99.3 MeV/c)



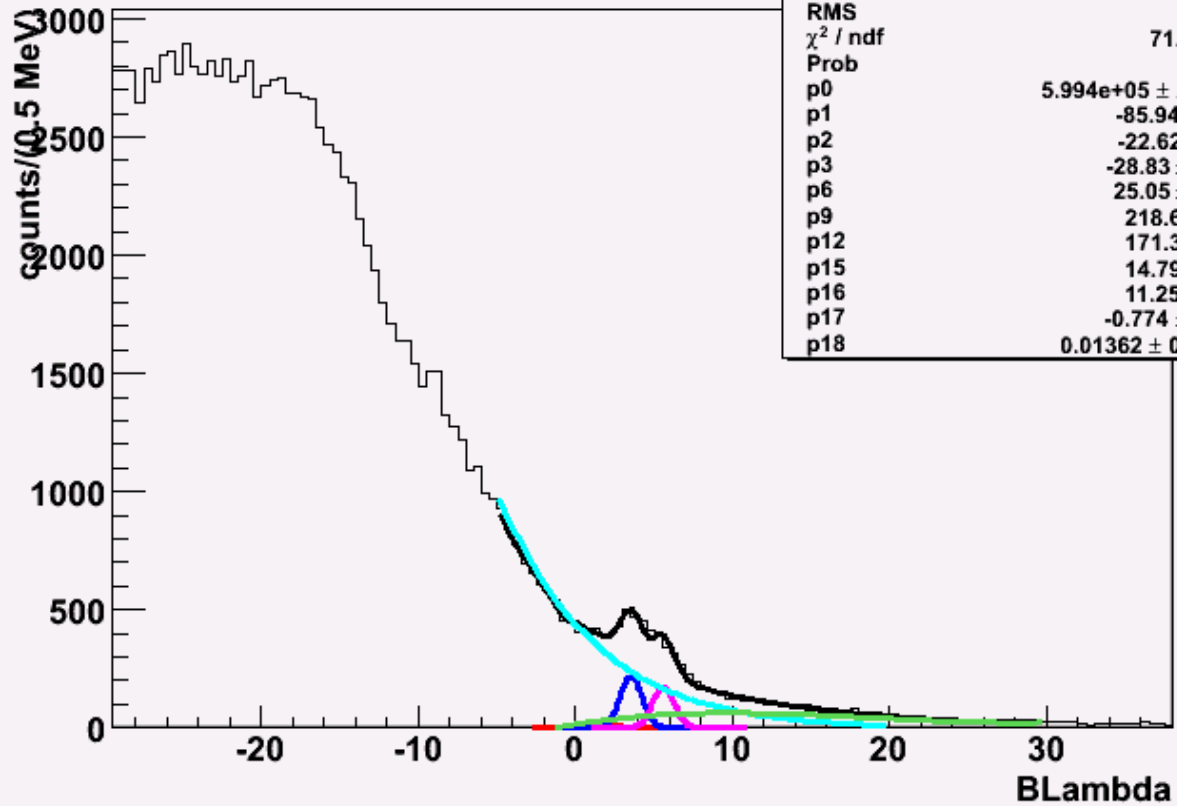
p max 3 body

p mesonico

$K^- + {}^7\text{Li} \rightarrow$	${}^6_{\Lambda}\text{He} + p + \pi^-$	270.6 MeV/c	108.5 MeV/c
	${}^5_{\Lambda}\text{He} + d + \pi^-$	272.8 MeV/c	99.3 MeV/c
	${}^4_{\Lambda}\text{He} + t + \pi^-$	252.7 MeV/c	98.0 MeV/c
	${}^4_{\Lambda}\text{H} + {}^3\text{He} + \pi^-$	252.3 MeV/c	132.9 MeV/c
	${}^3_{\Lambda}\text{H} + {}^4\text{He} + \pi^-$	270.0 MeV/c	114.5 MeV/c



Li7_BL



Li7_BL

Entries	265144
Mean	-16.19
RMS	10.13
χ^2 / ndf	71.67 / 59
Prob	0.1247
p0	$5.994\text{e}+05 \pm 269188$
p1	-85.94 ± 8.50
p2	-22.62 ± 1.78
p3	-28.83 ± 20.72
p6	25.05 ± 18.40
p9	218.6 ± 17.0
p12	171.3 ± 14.9
p15	14.79 ± 0.08
p16	11.25 ± 2.70
p17	-0.774 ± 0.206
p18	0.01362 ± 0.00399

